

# FILTRÁCIA GEODETICKÝCH DÁT NA POVRCHU ZEME POMOCOU NELINEÁRNYCH DIFÚZNYCH ROVNÍC

*Martin Tunega, Róbert Čunderlík, Karol Mikula*

## Úvod

V článku vytvoríme metódu konečných objemov na numerické riešenie parabolických parciálnych diferenciálnych rovníc na uzavretých plochách. Hlavná myšlienka je založená na aproximácii plochy  $\omega$ , v našom prípade povrchu Zeme, konečným počtom trojuholníkov, pomocou ktorých zostrojíme systém konečných objemov. Využijeme Greenovu vetu pre Laplace-Beltramiho operátor na zadefinovanie slabej formulácie difúznej rovnice na konečnom objeme. Numerickou aproximáciou slabej formulácie dostaneme lineárny systém rovníc pre hodnoty riešenia na jednotlivých konečných objemoch, ktorý dokážeme efektívne vyriešiť numerickou metódou. Riešenie rozšírime na Perona-Malikov model a budeme sa snažiť odfiltrovať šum z reálne nameraných dát. Diferenciálna rovnica vedenia tepla v našom prípade má nasledujúci tvar

$$\frac{\partial u(X, t)}{\partial t} - \Delta_s u(X, t) = 0, \quad (1)$$

pričom uvažujeme počiatočnú podmienku

$$u(X, 0) = u_0(X). \quad (2)$$

Riešením je teplotné pole  $u(X, t)$ . Rovnicu riešime na uzavretej ploche  $\omega$ , kde  $X \in \omega$  predstavuje priestorovú premennú,  $t \in [0, T]$  čas a  $\Delta_s$  je Laplace-Beltramiho operátor, ktorý predstavuje zovšeobecnený Laplaceov operátor na zakrivenom povrchu  $\omega$ . Rovnicu (1) budeme riešiť numericky, metódou konečných objemov.

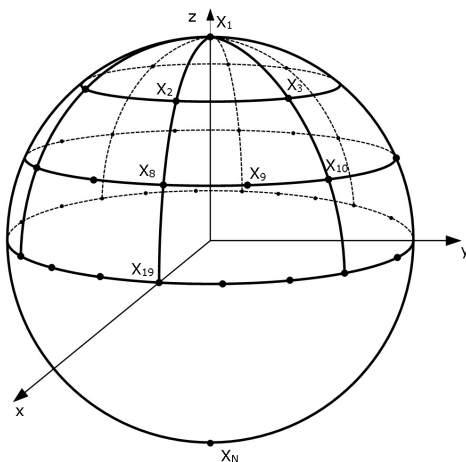
## Priestorová diskretizácia

Keďže v našich aplikáciách sa budeme zaoberať spracovaním dát daných na povrchu Zeme, vytvoríme priestorovú diskretizáciu jej sférickej aproximácie. Uvažujeme povrch gule  $\omega$  s polomerom  $r$  a stredom  $O$  v počiatku súradnicovej sústavy. Každý bod  $X \in \omega$  máme určený trojicou sférických súradníc  $(\alpha, \beta, r)$ , kde  $\alpha$  predstavuje uhol spojnice  $\overrightarrow{XO}$  a jej priemetu v rovine  $xy$ ,  $\beta$  uhol priemetu  $\overrightarrow{XO}$  v rovine  $xy$  a osi  $x$  a  $r$  je polomer gule (Obrázok 1), pričom

$$\alpha \in [-90^\circ, 90^\circ], \beta \in [0^\circ, 360^\circ], r > 0. \quad (3)$$

Našou úlohou je nájsť konečný počet bodov  $X_i \in \omega$ ,  $i = 1, \dots, N$  aproximujúcich  $\omega$  tak, aby sme pomocou nich mohli čo najjednoduchšie popísať konečný počet konečných objemov  $V_i$  na ktorých budeme numericky riešiť rovnicu (1). Číslovanie  $i = 1, \dots, N$  predstavuje globálne číslovanie uzlových bodov  $X_i$ .

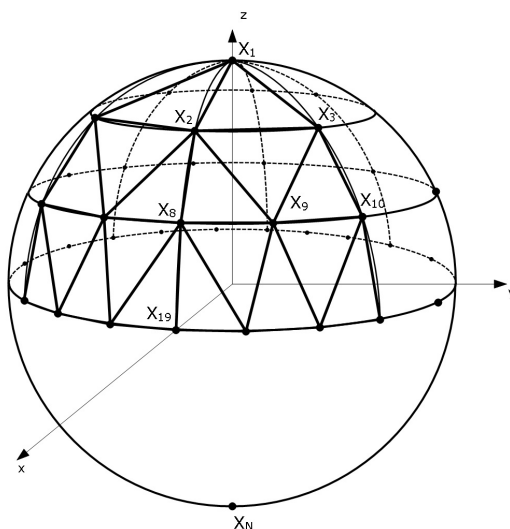
Na severnom póle umiestnime prvý bod  $X_1$  a na južnom posledný  $X_N$ . Povrch gule rozdelíme na  $2M - 1$  rovnobežiek  $R_j$ ,  $j = 1, \dots, (2M - 1)$  (Obrázok 1). Rovnobežky sú číslované zo severu na juh. Na rovnobežkách  $R_j$ ,  $j = 1, \dots, M$  bude  $6j$  bodov a na rovnobežkách  $R_j$ ,  $j = M + 1, \dots, 2M - 1$  bude  $6(2M - j)$  bodov. Spolu budeme mať  $N = 2 + \sum_{j=1}^M 6j + \sum_{j=M+1}^{2M-1} 6(2M - j)$  bodov. Napríklad pre  $M = 3$  to bude  $2 + 6 + 6 * 2 + 6 * 3 + 6 * 2 + 6 = 56$  bodov [2].



Obrázok 1: Priestorová diskretizácia

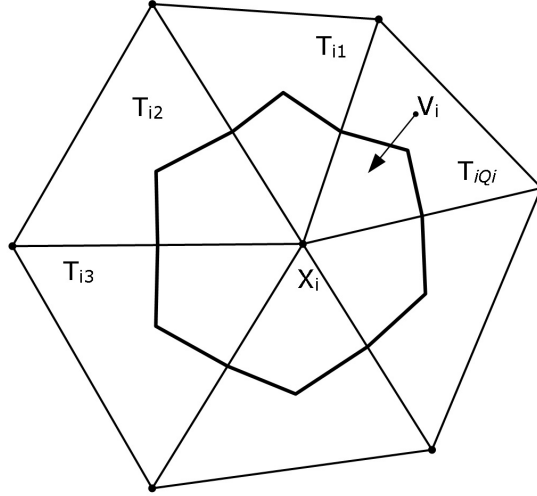
Ravnobežky budú vždy rovnomerne rozdelené a prvý bod bude začínať v nultom poludníku ( $\beta = 0^\circ$ ). Tak dostaneme sieť bodov  $X_i$ ,  $i = 1, \dots, N$ .

Aby sme mohli vytvoriť konečné objemy  $V_i$ ,  $i = 1, \dots, N$  zostrojíme sieť trojuholníkov  $T_k$ . Pre každý bod  $X_i$  nájdeme  $Q_i$  najbližších susedov a pomocou nich zostrojíme sieť (Obrázok 2). Pre takto vybudovanú trianguláciu bude vo všeobecnosti  $Q_i$  rovné 6 a len pre šesť uzlových bodov na rovníku bude  $Q_i$  rovné 4. Trojuholníky s vrcholom v bode  $X_i$  označíme  $T_{iq}$ ,  $q = 1, \dots, Q_i$ .



Obrázok 2: Triangulácia

Pre každý bod  $X_i$  zdefinujeme konečný objem  $V_i$  ako mnohouholník, ktorého vrcholy budú vždy v ťažiskách trojuholníkov a v polovici spojnice bodu  $X_i$  a jeho susedov (Obrázok 3).



Obrázok 3: Konečný objem  $V_i$

### Časová diskretizácia

Časovú os  $[0, T]$  si môžeme rozdeliť na konečný počet bodov  $t_k$ ,  $k = 0, \dots, K$ , ktoré budú od seba rovnomerne vzdialené o časový interval  $\tau = t_k - t_{k-1}$ ,  $k = 1, \dots, K$ . Potom funkcia  $u(x, t_k)$  bude reprezentovať riešenie na  $k$ -tej časovej vrstve. Časovú deriváciu  $\frac{\partial u}{\partial t}$  aproximujeme spätnou diferenciou

$$\frac{\partial u}{\partial t} \approx \frac{u^k - u^{k-1}}{\tau}, k = 1, \dots, K. \quad (4)$$

Pre sprehľadnenie zavedieme označenie  $u(x, t_k) = u^k$

### Slabá formulácia a jej numerická aproximácia

Rovnicu (1), ktorá má tvar

$$\frac{\partial u(X, t)}{\partial t} - \Delta_s u(X, t) = 0 \quad (5)$$

zintegrujeme na konečnom objeme  $V_i$  [4],

$$\int_{V_i} \frac{\partial u}{\partial t} dx - \int_{V_i} \Delta_s u dx = 0, \quad (6)$$

využijeme Greenovu vetu [3] a dostaneme

$$\int_{V_i} \frac{\partial u}{\partial t} dx - \int_{\partial V_i} \nabla_s u \cdot \vec{\eta}_i ds = 0, \quad (7)$$

kde vektor  $\vec{\eta}_i$  predstavuje vektor jednotkovej vonkajšej normály ku hranici konečného objemu  $V_i$  a  $\nabla_s u$  povrchový gradient funkcie  $u$  na ploche  $\omega$ .

Z geometrie  $V_i$  vyplýva, že druhý člen môžeme zapísať ako sumu cez jednotlivé časti  $\partial V_i$  a dostaneme tak slabú formuláciu úlohy na konečnom objeme  $V_i$ :

$$\int_{V_i} \frac{\partial u}{\partial t} dx - \sum_{q=1}^{Q_i} \int_{\partial V_{iq}} \nabla_s u \cdot \vec{\eta}_{iq} ds = 0, \quad (8)$$

kde  $\vec{\eta}_{iq}$  predstavujú normály ku častiam hranice  $\partial V_{iq}$  (Obrázok 4).

Prvý člen rovnice (8) aproximujeme spätnou diferenciou (4) a pri jeho numerickej aproximácii na konečnom objeme  $V_i$  uvažujeme konštantnú reprezentáciu riešenia danú hodnotou  $u_i^k$  v bode  $X_i$  a časovom kroku  $k$ . Ak v druhom člene rovnice (8) uvažujeme riešenia na časovej vrstve  $k$ , dostaneme

$$m(V_i) \frac{u_i^k - u_i^{k-1}}{\tau} - \sum_{q=1}^{Q_i} \int_{\partial V_{iq}} \nabla_s u^k \cdot \vec{\eta}_{iq} ds = 0, \quad (9)$$

kde  $m(V_i)$  predstavuje mieru množiny  $V_i$ , v našom prípade plochu konečného objemu  $V_i$ .

Pri numerickej aproximácii druhého člena rovnice (9) uvažujeme lineárnu reprezentáciu riešenia  $u^k$  na jednotlivých trojuholníkoch, ktorých časti tvoria konečný objem  $V_i$ . V takom prípade je povrchový gradient konštantný a teda rovný svojej strednej hodnote, ktorú označíme  $P_{T_{iq}}^k$ . Potom

$$\nabla_s u^k \approx P_{T_{iq}}^k = \frac{1}{m(T_{iq})} \int_{T_{iq}} \nabla_s u^k dx, \quad (10)$$

kde  $m(T_{iq})$  predstavuje plochu trojuholníka  $T_{iq}$ . Využitím Greenovej vety dostaneme

$$P_{T_{iq}}^k = \frac{1}{m(T_{iq})} \int_{\partial T_{iq}} u^k \vec{\eta}_{iq} ds, \quad (11)$$

kde  $\vec{\eta}_{iq}$  predstavuje vektor jednotkovej normály na hranu trojuholníka  $T_{iq}$  (Obrázok 4). Pri lineárnej reprezentácii riešenia môžeme tento integrál vypočítať ako súčet priemerov hodnôt riešenia na jednotlivých stranách a dostaneme

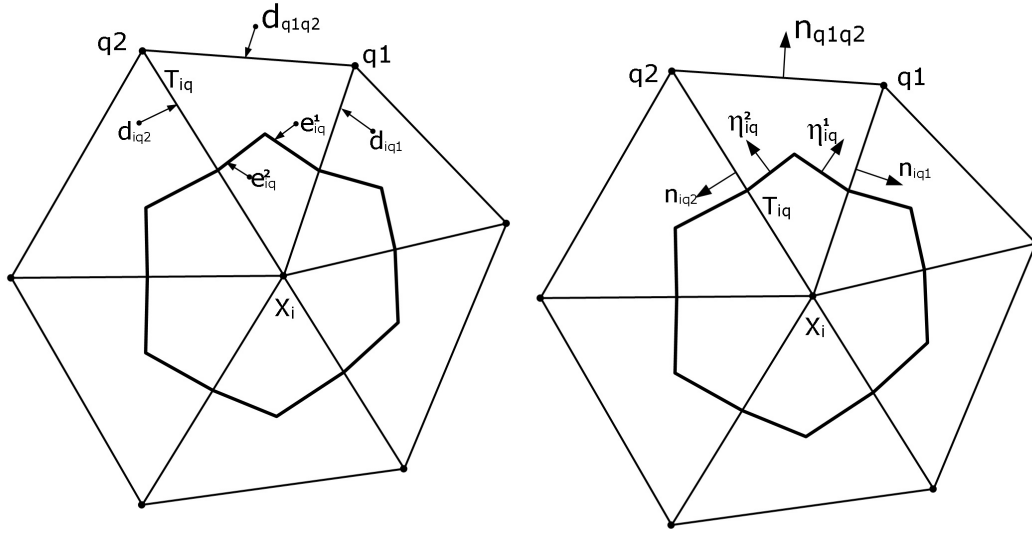
$$P_{T_{iq}}^k = \frac{1}{m(T_{iq})} \left( \frac{u_i^k + u_{q1}^k}{2} d_{iq1} \vec{\eta}_{iq1} + \frac{u_i^k + u_{q2}^k}{2} d_{iq2} \vec{\eta}_{iq2} + \frac{u_{q1}^k + u_{q2}^k}{2} d_{q1q2} \vec{\eta}_{q1q2} \right), \quad (12)$$

kde  $d_{iq1}$ ,  $d_{iq2}$ ,  $d_{q1q2}$  sú dĺžky strán trojuholníka  $T_{iq}$  a  $u_{q1}^k$ ,  $u_{q2}^k$  sú hodnoty riešenia v bodoch  $q1$ ,  $q2$  trojuholníka  $T_{iq}$  (Obrázok 4). Rovnicu (9) môžeme potom zapísať v tvare

$$m(V_i) \frac{u_i^k - u_i^{k-1}}{\tau} - \sum_{q=1}^{Q_i} \int_{\partial V_{iq}} P_{T_{iq}}^k \cdot \vec{\eta}_{iq} ds = 0. \quad (13)$$

Konštantný vektor  $P_{T_{iq}}^k$  môžeme vybrať pred integrál a  $\int_{\partial V_{iq}} \vec{\eta}_{iq} ds$  vyjadriť ako  $(m(e_{iq}^1)\vec{\eta}_{iq}^1 + m(e_{iq}^2)\vec{\eta}_{iq}^2)$ , kde  $m(e_{iq}^1)$ ,  $m(e_{iq}^2)$  sú dĺžky príslušných hrán. Potom naša numerická aproximácia má tvar

$$m(V_i) \frac{u_i^k - u_i^{k-1}}{\tau} - \sum_{q=1}^{Q_i} (m(e_{iq}^1)\vec{\eta}_{iq}^1 \cdot P_{T_{iq}}^k + m(e_{iq}^2)\vec{\eta}_{iq}^2 \cdot P_{T_{iq}}^k) = 0. \quad (14)$$



Obrázok 4: Parametre konečného objemu  $V_i$

### Zostavenie a vyriešenie lineárneho systému rovníc v jednotlivých časových krokoch

Úpravou rovnice (14) dostaneme

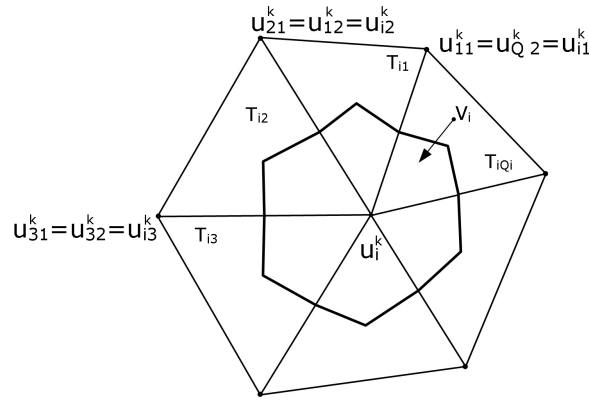
$$u_i^k - \frac{\tau}{m(V_i)} \sum_{q=1}^{Q_i} (m(e_{iq}^1)\vec{\eta}_{iq}^1 \cdot P_{T_{iq}}^k + m(e_{iq}^2)\vec{\eta}_{iq}^2 \cdot P_{T_{iq}}^k) = u_i^{k-1}. \quad (15)$$

Vzhľadom na tvar  $P_{iq}^k$ , v rovnici pre uzlový bod  $X_i$  vystupujú neznáme hodnoty  $u_i^k$  a  $u_{q1}^k$ ,  $u_{q2}^k$ ,  $q = 1, \dots, Q_i$  pre všetkých susedov uzlového bodu  $X_i$ . Členy  $u_i^k$ ,  $u_{q1}^k$  a  $u_{q2}^k$  reprezentujú lokálne označenie neznámych na trojuholníkoch  $T_{iq}$ . Z

geometrie  $V_i$  vyplýva, že napríklad pre  $Q_i = 6$

$$\begin{aligned} u_{11}^k &= u_{62}^k = u_{i1}^k \\ u_{21}^k &= u_{12}^k = u_{i2}^k \\ u_{31}^k &= u_{22}^k = u_{i3}^k \\ u_{41}^k &= u_{32}^k = u_{i4}^k \\ u_{51}^k &= u_{42}^k = u_{i5}^k \\ u_{61}^k &= u_{52}^k = u_{i6}^k \end{aligned}$$

kde  $u_{iq}^k$  je označenie pre neznáme hodnoty riešenia pri lokálnom číslovaní susedov vzhľadom na uzol  $X_i$  (Obrázok 5).

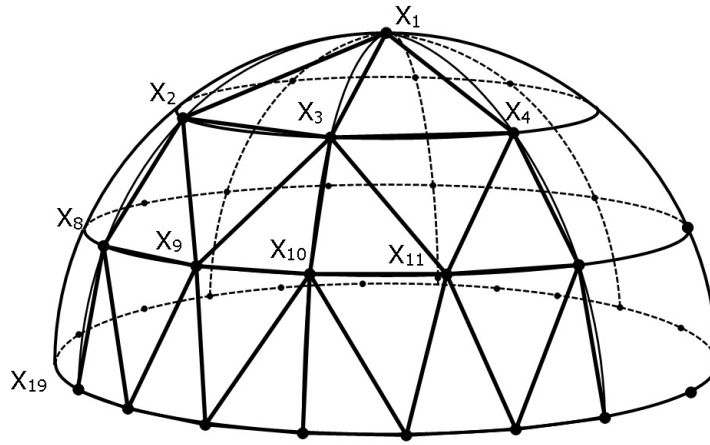


Obrázok 5: Neznáme hodnoty riešenia pri lokálnom číslovaní susedov

V rovnici pre každý uzlový bod  $X_i$ ,  $i = 1, \dots, N$ , budeme mať teda  $Q_i + 1$  neznámych  $u_i^k, u_{i1}^k, \dots, u_{iQ_i}^k$ . Z rovnice (15) si vyjmemme členy, ktoré stoja pri  $u_i^k, u_{i1}^k, \dots, u_{iQ_i}^k$  a nazveme ich  $a_{i0}, a_{i1}, \dots, a_{iQ_i}$ . Tieto čísla budú tvoriť nenulové prvky  $i$ -teho riadku matice  $\mathbf{A}$  rozmeru  $N \times N$ . Členy  $a_{i0}, a_{i1}, \dots, a_{iQ_i}$  budeme ukladať do stĺpcov podľa globálneho číslovania neznámej, ktorej prislúchajú. Vektor pravej strany  $b$  bude daný vektorom riešenia  $u_i^{k-1}$  z predchádzajúceho časového kroku  $k - 1$ .

Napríklad pre  $M = 2$  bude mať matica  $\mathbf{A}$  rozmer  $26 \times 26$  a pre bod  $X_3$ , ktorý má susedov  $X_1, X_4, X_{11}, X_{10}, X_9, X_2$  (Obrázok 6) bude mať tretí riadok matice  $\mathbf{A}$  tvar:

$$\mathbf{A}_3 = \left( a_{31}^k \quad a_{32}^k \quad a_{30}^k \quad a_{36}^k \quad 0 \quad 0 \quad 0 \quad 0 \quad a_{33}^k \quad a_{34}^k \quad a_{35}^k \quad 0 \quad \dots \quad 0 \right).$$



Obrázok 6: Susedné uzlové body bodu  $X_3$

Vo všeobecnosti diagonálny člen bude mať tvar

$$a_{i0}^k = 1 - \frac{\tau}{m(V_i)} \sum_{q=1}^{Q_i} \frac{1}{2m(T_{iq})} (m(e_{iq}^1) \vec{n}_{iq}^1 \cdot (d_{iq1} \vec{n}_{iq1} + d_{iq2} \vec{n}_{iq2}) + m(e_{iq}^2) \vec{n}_{iq}^2 \cdot (d_{iq1} \vec{n}_{iq1} + d_{iq2} \vec{n}_{iq2}))$$

a napríklad jeden nediagonálny člen

$$a_{i1}^k = - \frac{\tau}{m(V_i)} \frac{1}{2m(T_{i1})} (m(e_{i1}^1) \vec{n}_{i1}^1 \cdot (d_{i11} \vec{n}_{i11} + d_{i112} \vec{n}_{i112}) + m(e_{i6}^2) \vec{n}_{i6}^2 \cdot (d_{i62} \vec{n}_{i62} + d_{i62} \vec{n}_{i62})).$$

Môžeme si všimnúť, že pre lineárnu rovnicu vedenia tepla na ploche  $\omega$  koeficienty matice  $\mathbf{A}$  nezávisia od času. Vplyv má len diskretizácia geometrie povrchu  $\omega$  a veľkosť časového kroku  $\tau$ , ktorý je v našom prípade konštantný. Pretože chceme lineárny systém  $\mathbf{A}u = b$  riešiť SOR algoritmom matrica musí byť diagonálne dominantná. Čiže absolútna hodnota diagonálneho člena musí byť väčšia alebo rovná sume absolútnych hodnôt nediagonálnych členov v danom riadku,

$$|\mathbf{A}_{ii}| \geq \sum_{j \neq i} |\mathbf{A}_{ij}| \quad i = 1, \dots, N. \quad (16)$$

Experimentálna skúsenosť ukazuje, že pri voľbe

$$\tau = \frac{1}{N} \sum_{i=1}^N m(V_i) \quad (17)$$

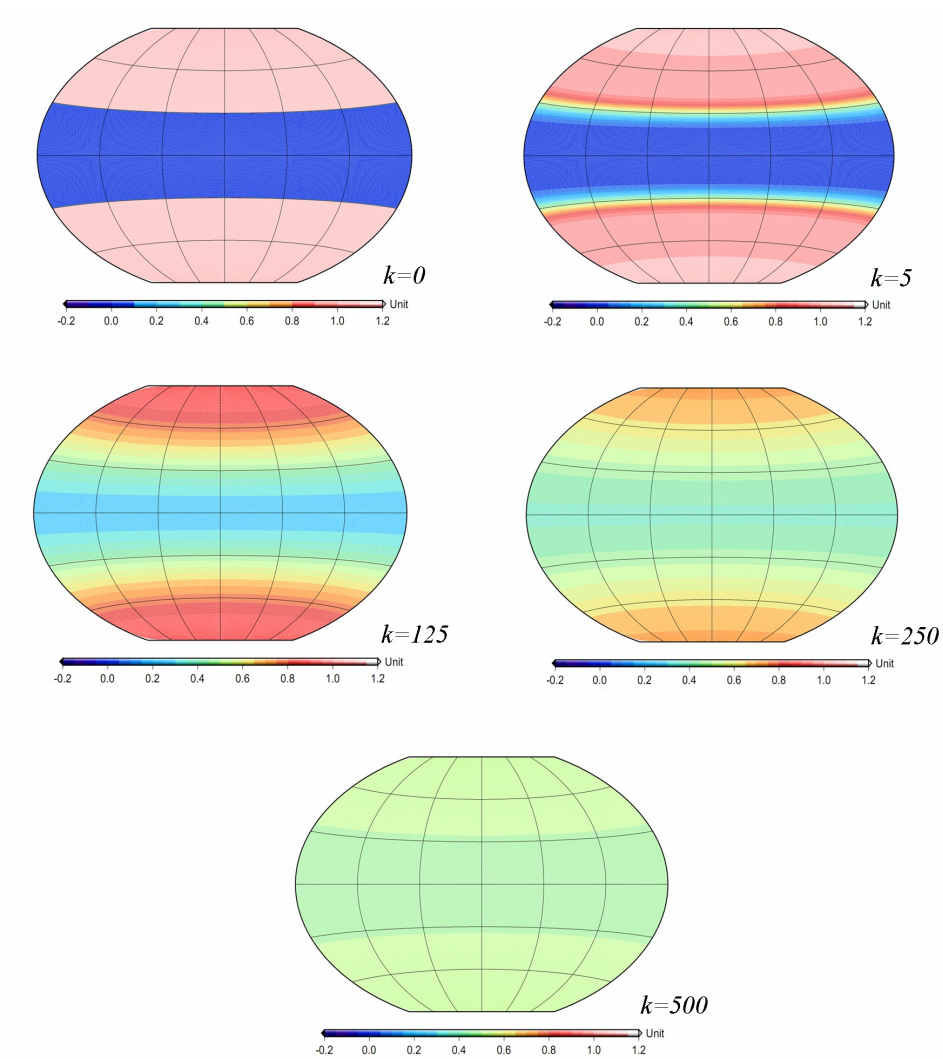
je táto podmienka splnená a SOR metóda konverguje, preto ju používame v praktických úlohách filtrácie v kapitole 4. Pre takúto voľbu  $\tau$  najskôr otestujeme podmienku (16) a pri jej splnení riešime lineárny systém SOR algoritmom. Pokiaľ by (16) nebola splnená zmenšili by sme  $\tau$  na polovicu a vykonali test znova.

Pre každý čas  $k$ ,  $k = 1, \dots, K$  riešime systém  $\mathbf{A}u^k = u^{k-1}$ , pričom  $u^0$  predstavuje počiatočnú podmienku. Pre dostatočne veľké  $K$  dospejeme k rovnovážnemu stavu, keď každý bod  $X_i$  má rovnakú teplotu  $u$ .

Tento fenomén si názorne ukážeme na modelovom príklade. Počiatočnú podmienku  $u_i^0$  v jednotlivých uzlových bodoch  $X_i$  si určíme nasledovne:

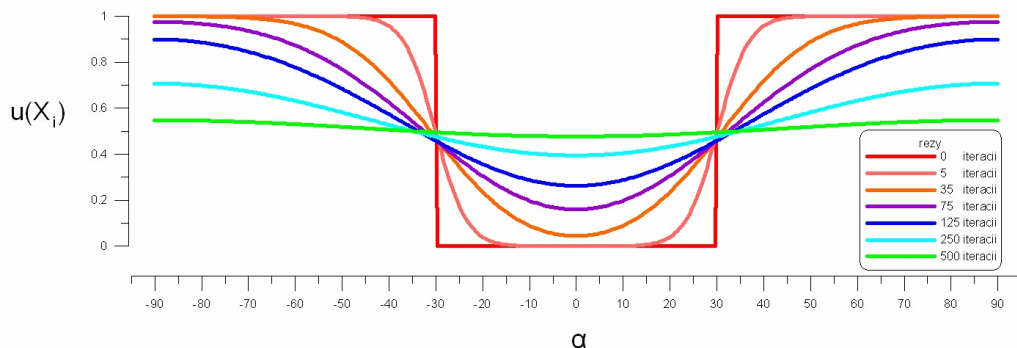
$$u_i^0 = \begin{cases} 1 & |\beta| > 30^\circ \\ 0 & |\beta| \leq 30^\circ \end{cases}$$

Úlohu budeme riešiť pre  $M = 200$ , čiže 250002 uzlových bodov. Časový krok  $\tau$  zvolíme pre tento príklad 0.001, t.j ešte väčší ako je v podmienke (17), pretože priemer plôch trojuholníkov je rovný 0.000157. Pre väčšie  $\tau$  by už algoritmus SOR nekonvergoval a matica by už nebola diagonálne dominantná. Na obrázku 7 vidíme postupne výsledky pre  $k=0, 5, 125, 250, 500$ , vykreslené vizualizačným softvérom GMT.



Obrázok 7: Difúzia v jednotlivých časových krokoch.





Obrázok 8: Rezy v jednotlivých časových krokoch. Z obrázkov je zrejmé, že teplo sa začne šíriť z pólov smerom k rovníku až sa teplota ustáli. Rovnovážny stav nastane približne po 500 časových krokoch.

Kedže nemáme žiadne vnútorné zdroje a ani žiadne teplo neuniká z povrchu, celková energia na povrchu by mala byť konštantná. V každom časovom kroku budeme počítat veličinu  $\sum_{i=1}^N u_i^k m(V_i)$ , ktorá pre konštantné merné teplo  $c$  a hustotu  $\rho$  rovné 1, vyjadruje práve celkové množstvo tepla. Vzhľadom na analógiu s difúziou, kedy riešenie  $u$  vyjadruje koncentráciu látky, budeme túto veličinu volať masa. Táto hodnota by mala byť v každom čase rovnaká, meniť sa bude len vplyvom aproximačných chýb a diskretizácie.

$k$	masa, $M = 200$	masa, $M = 400$
0	6.297340	6.275565
5	6.297325	6.275556
75	6.297070	6.275422
125	6.296893	6.275331
250	6.296439	6.275096
500	6.295518	6.274616

Pre  $M = 200$  sa masa z počiatočného stavu zmenila o 0.001822. Pre jemnejšiu sieť budeme riešiť lineárnu difúziu na 960002 bodoch ( $M = 400$ ) s rovnakou počiatočnou podmienkou a časovým krokom. V tomto prípade sa masa zmenila o 0.000949, a teda pre jemnejšiu sieť dostávame presnejšie výsledky.

## Rozšírenie pre Perona-Malikovu rovnicu

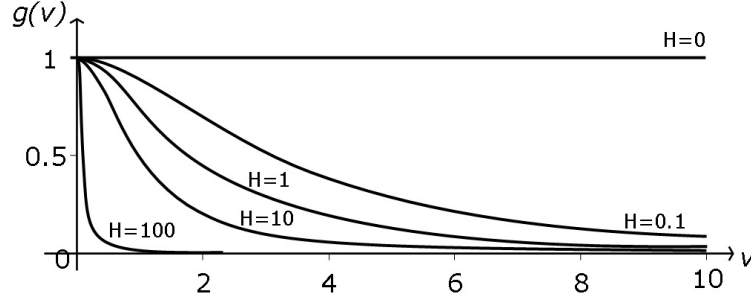
V tejto kapitole rozšírime metódu konečných objemov na riešenie úloh nelineárnej difúzie na plochách. Ako príklad uvažujeme regularizovaný Perona-Malikov model [7, 1, 6], ktorý sa využíva pri spracovaní obrazu. Je to technika zameraná na potlačenie šumu zo vstupných dát, pričom sa snaží v čo najväčšej možnej miere zachovať hrany obrazu. Budeme riešiť nelineárnu difúznou rovnicu

$$\frac{\partial u}{\partial t} - \nabla_s \cdot (g(v) \nabla_s u) = 0, \quad (18)$$

kde funkcia  $g(v)$  reprezentuje difúzny koeficient, ktorý kontroluje mieru difúzie. V Perona-Malikovom modeli je závislá od absolútnej hodnoty gradientu funkcie  $u$  a

reprezentuje takzvaný hranový indikátor. Funkcia  $g(v)$  má tvar,

$$g(v) = \frac{1}{1 + Hv}, \quad H \geq 0, \quad v = |\nabla_s u^\sigma|^2, \quad (19)$$



Obrázok 9: Priebeh funkcie  $g(v)$

pričom  $u^\sigma$  reprezentuje riešenie lineárnej difúznej rovnice (1) za krátky časový okamih  $\tau = \sigma$ . Konštanta  $H$  kontroluje ako bude metóda citlivá na hrany. Pre väčšie  $H$  je metóda citlivejšia a hrany budú zachované vo väčšej miere. Zvyčajne sa  $H$  volí experimentálne.

Podobnými úvahami ako pri lineárnej difúznej rovnici získame slabú formuláciu rovnice (18), ktorú budeme riešiť metódou konečných objemov. V prípade Perona-Malikovho modelu postupne dostaneme

$$\int_{V_i} \frac{\partial u}{\partial t} u dx - \int_{V_i} \nabla_s \cdot (g \nabla_s u) dx = 0, \quad (20)$$

$$\int_{V_i} \frac{u^k - u^{k-1}}{\tau} dx - \int_{V_i} (g^{k-1} \nabla_s u^k) \vec{\eta}_i ds = 0, \quad (21)$$

$$m(V_i) \frac{u_i^k - u_i^{k-1}}{\tau} - \sum_{q=1}^{Q_i} \int_{\partial V_{iq}} g^{k-1} \nabla_s u^k \vec{\eta}_{iq} ds = 0, \quad (22)$$

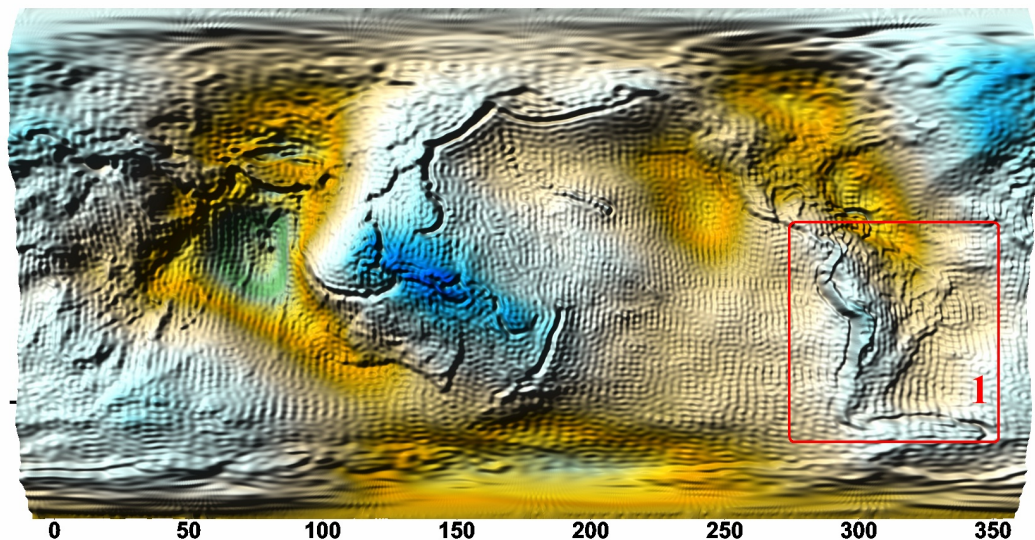
$$m(V_i) \frac{u_i^k - u_i^{k-1}}{\tau} - \sum_{q=1}^{Q_i} (m(e_{T_{iq}}^1) \vec{\eta}_q^1 \cdot P_{T_{iq}}^k g(|P_{T_{iq}}^{\sigma, k-1}|) + m(e_{T_{iq}}^2) \vec{\eta}_q^2 \cdot P_{T_{iq}}^k g(|P_{T_{iq}}^{\sigma, k-1}|)) = 0. \quad (23)$$

Člen  $P_{T_{iq}}^{\sigma, k-1}$  predstavuje gradient riešenia z predchádzajúceho časového kroku zhladeného lineárnou difúziou s malým časovým krokom  $\sigma$  na jednotlivých trojuholníkoch. Keďže tento nelineárny člen berieme z predchádzajúceho kroku je naša numerická schéma konečných objemov semi-implicitná [6]. Rovnice (23) zostrojené pre všetky konečné objemy  $V_i$  opäť reprezentujú lineárny systém rovníc s rovnakou štruktúrou ako (15) a takisto ho môžeme riešiť SOR iteračnou metódou.

## Filtrácia geodetických dát na povrchu Zeme

V záverečnej časti si ukážeme praktické uplatnenie lineárnej a nelineárnej difúzie. Naším cieľom bude odfiltrovať systematický šum z geodetických dát. Použijeme voľne dostupný model poruchového potenciálu zo satelitného geopotenciálneho modelu ITG-Grace03 [5] (Obrázok 10), ktorý je modelovaný pomocou plošných sférických harmonických funkcií do rádu a stupňa 180. Zanedbaním koeficientov vyšších rádov dochádza k tzv. *stripingu*, ktorý sa pokúsime pomocou našich filtračných metód odfiltrovať. Dáta máme dané pre 1215002 bodov na rotačnom elipsoide s hlavnou poloosou  $a = 6378137$  m a prvou lineárnou excentricitou  $e^2 = 6.67437999014 \cdot 10^{-3}$ .

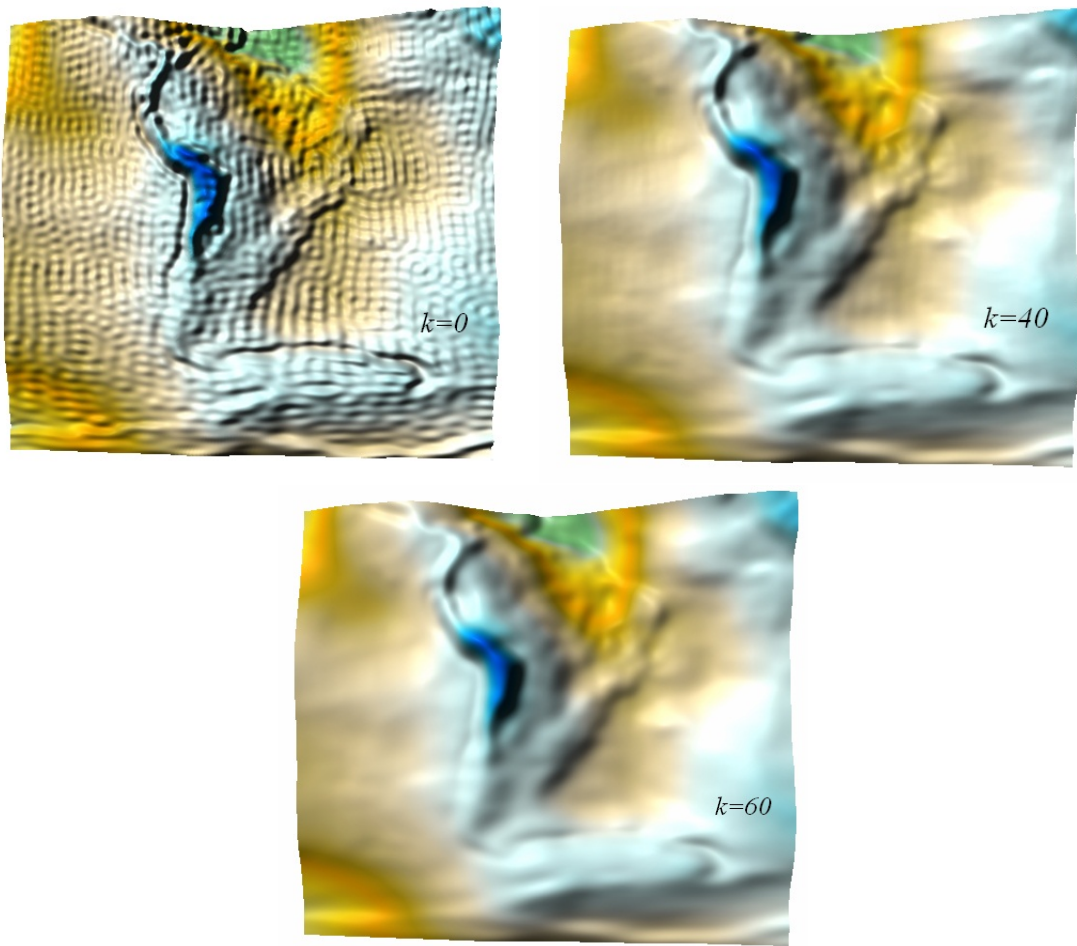
Zameriame sa na jednu podoblasť, na ktorej budeme testovať oba modely a pokúsime sa nájsť optimálny časový interval, po ktorom bude šum potlačený v čo najväčej miere pričom dáta budú skreslené minimálne. Pri Perona-Malikovom modeli budeme takisto hľadať optimálnu hodnotu parametra  $H$ . Vybrali sme oblasť Južnej Ameriky, ktorú sme zvolili kvôli jej členitosti.



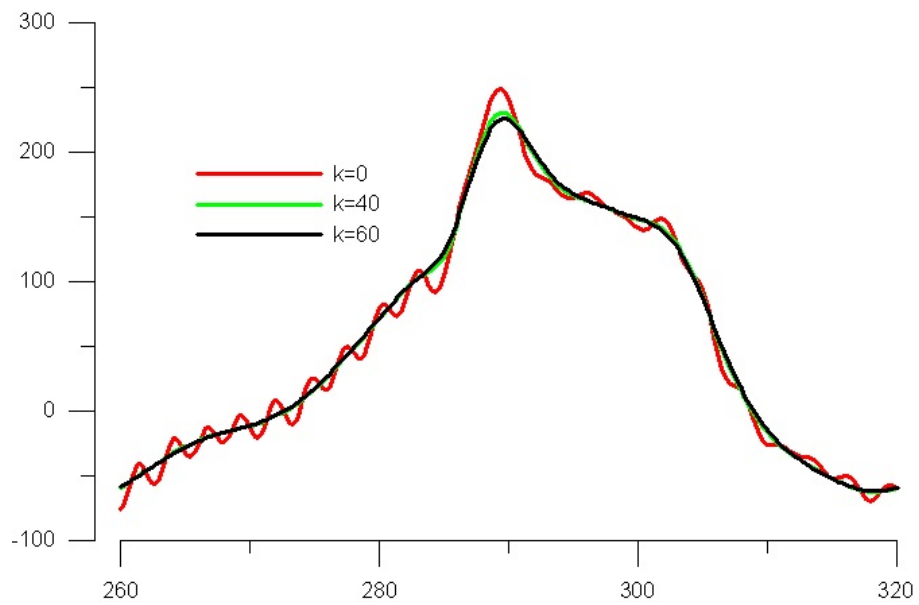
Obrázok 10: Poruchový potenciál na povrchu zeme

## Filtrácia pomocou lineárnej difúzie

Ako prvé sa pokúsime šum odfiltrovať pomocou lineárnej difúzie. Na obrázku 11 vidíme detail originálnych dát a ich zhladenia po 40 a 60 časových krokoch. Vidíme, že *striping* je odstránený, pričom hrany tiež nie sú príliš zhladené. Obrázok 12 ukazuje originálne a zhladené dáta na jednej vybranej rovnobežke.



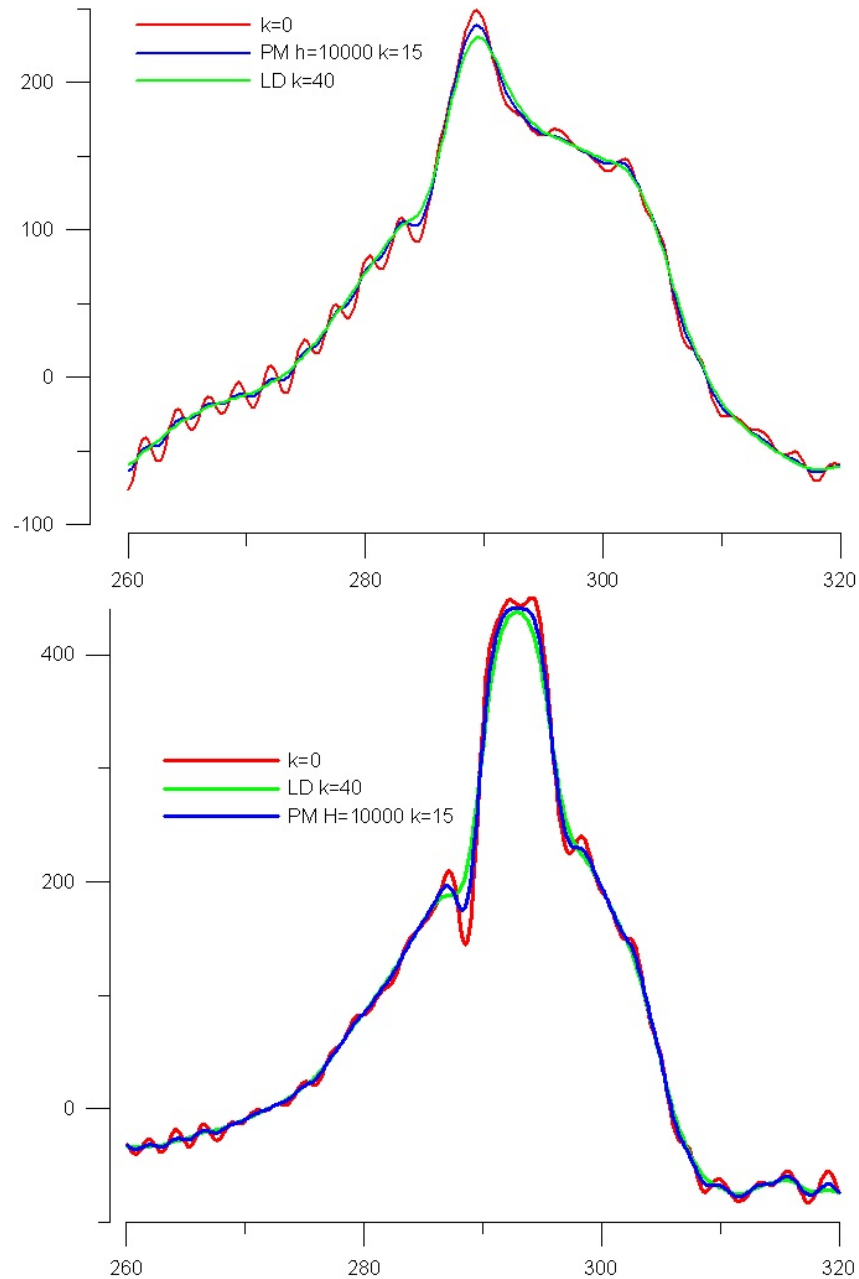
Obrázok 11: Poruchový potenciál zhladený lineárnou difúziou.



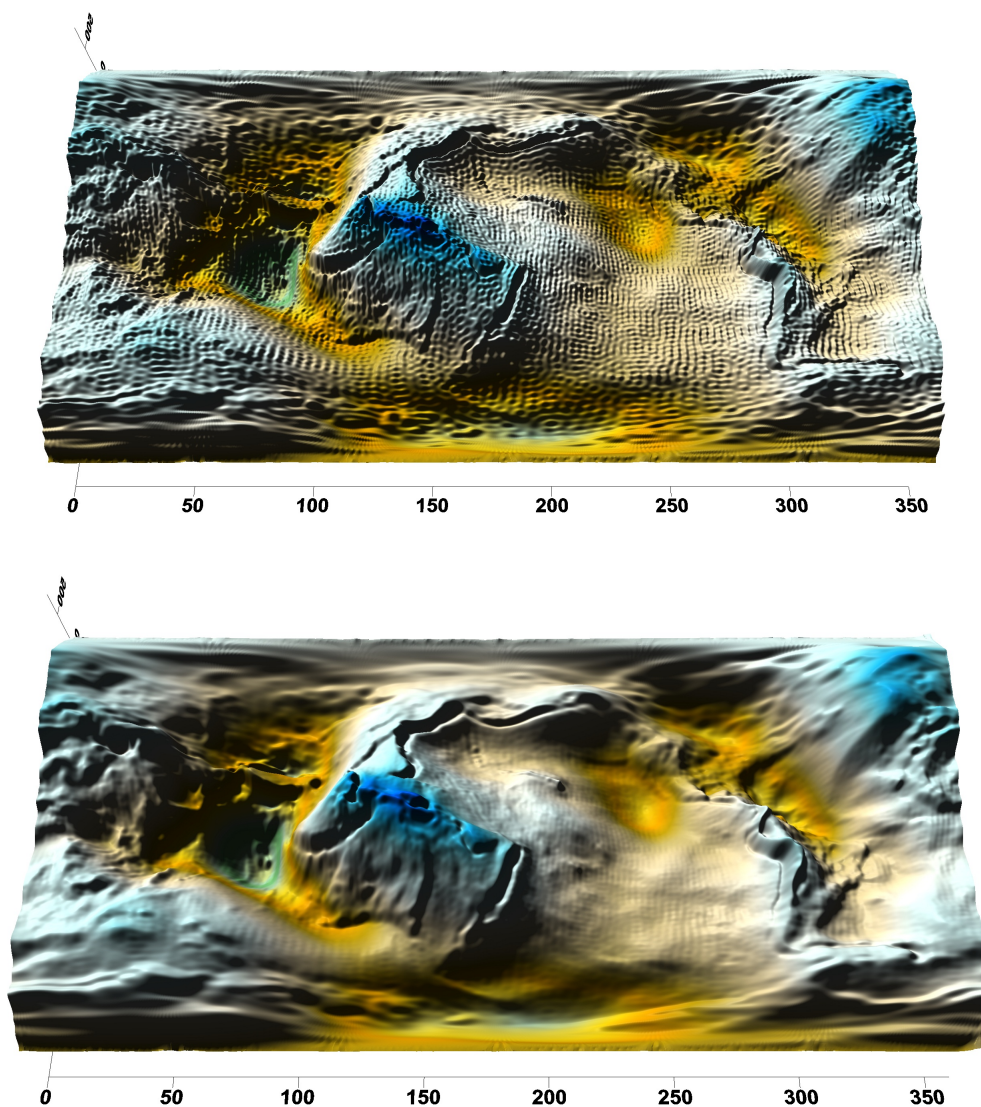
Obrázok 12: Rez rovnobežkou  $\alpha = -38^\circ$

## Filtrácia pomocou Perona-Malikovho modelu

Následne budeme filtrovať šum pomocou Perona-Malikovho modelu. Experimentálne sme našli vhodné parametre  $H = 10000$ ,  $k = 15$ , pri ktorých sa nám podarilo ešte vylepšiť výsledok lineárnej difúzie. Ich porovnanie na rovnobežkách  $\alpha = -38^\circ$  a  $\alpha = -20^\circ$  prezentujeme na obrázku 13. Na obrázku 14 ukazujeme globálne originálne a zhladené dáta z iného pohľadu, z ktorého je vidno odstránenie šumu a zachovanie detailov podstatných pre správnu interpretáciu geodetických dát.



Obrázok 13: Rezy rovnobežkami  $\alpha = -38^\circ$  a  $\alpha = -20^\circ$



Obrázok 14: Poruchový potenciál - originálne dáta (hore), zhladené nelineárnou difúziou (dole).

## Záver

Článok sa zaoberá metódou konečných objemov na riešenie lineárnej a nelineárnej Perona-Malikovej difúznej rovnice na uzavretej ploche  $\omega$ . Aproximáciou slabšej formulácie difúznej rovnice na konečnom objeme sme získali v každom časovom kroku sústavu lineárnych rovníc. Numerické modely lineárnej a nelineárnej difúzie boli aplikované na geodetické dáta predstavujúce poruchový potenciál získaný zo satelitného modelu ITG-Grace03, ktoré obsahujú štruktúrally šum typu *striping*. Pre tento typ zašumených dát sa ako vhodný filter ukázala už lineárna (Gaussovská) filtrácia realizovaná na ploche reprezentujúcej elipsoidickú aproximáciu zemského povrchu. Výsledky lineárnej difúzie boli ešte vylepšené aplikáciou regularizovaného Perona-Malikovho modelu.

Na základe výsledkov môžeme povedať, že filtrácia geodetických dát, ktorá uvažuje riešenie difúzných rovníc na ploche, na ktorej sú tieto dáta dané, je veľmi prirodzeným prístupom, ktorý má veľkú perspektívu.

**Pod'akovanie:** Tento článok vznikol za podpory grantu VEGA 1/0269/09 a projektov APVV-LPP-0216-06 a APVV-0351-07.

## Referencie

- [1] F.Catté, P.L.Lions, J.M.Morel, T.Coll, *Image selective smoothing and edge detection by nonlinear diffusion*, SIAM J. Numer. Anal., Vol. 29 (1992) pp. 182-193
- [2] R.Čunderlík, K.Mikula, M.Mojzeš, *Numerical solution of the linearized fixed gravimetric boundary value problem*, Journal of Geodesy, Vol. 82, No. 1 (2008) pp. 15-29
- [3] G. Dziuk, C.M.Elliott, *Surface finite elements for parabolic equations*, Journal of Computational Mathematics, Vol. 25, No. 4 (2007) pp. 385-407
- [4] R. Eymard, T. Gallouet, R. Herbin, *The finite volume method*, in: Handbook for Numerical Analysis, Vol.7 (Ph. Ciarlet, J.L. Lions, eds.), Elsevier, 2000
- [5] T.Mayer-Gürr, *ITG-Grace03s: The latest GRACE gravity field solution computed in Bonn*, presentation at GSTM+SPP, 15-17 Oct 2007, Potsdam
- [6] K.Mikula, N.Ramarosy, *Semi-implicit finite volume scheme for solving nonlinear diffusion equations in image processing*, Numerische Mathematik 89, No.3 (2001) 561-590
- [7] P.Perona, J.Malik, *Scale space and edge detection using anisotropic diffusion*, Proceedings IEEE Society Workshop on Computer Vision, 1987

### Autori:

Martin Tunega  
Katedra matematiky a deskriptívnej geometrie  
Stavebná fakulta STU  
Radlinského 11  
813 68 Bratislava  
Slovenská republika  
e-mail: martin.tunega@gmail.com

Robert Čunderlík  
Katedra matematiky a deskriptívnej geometrie  
Stavebná fakulta STU  
Radlinského 11  
813 68 Bratislava  
Slovenská republika  
e-mail: cunderli@svf.stuba.sk

Karol Mikula  
Katedra matematiky a deskriptívnej geometrie  
Stavebná fakulta STU  
Radlinského 11  
813 68 Bratislava  
Slovenská republika  
e-mail: mikula@math.sk

